

矢量投影变换在同步电机换向控制中的应用

李湘林 何志明 林卫中

(长沙工业经济学院·长沙, 410012)

洪奇然

(郴州自来水公司·湖南郴州, 423000)

摘要: 本文介绍了交流同步电动机矢量控制的基本原理, 就电机换向部分进行了矢量的投影计算及总结, 并进行仿真验算, 为同步电机矢量控制分析提供参考。

关键词: 矢量控制; 电机换向; 矢量投影

1 引言

直流电机电磁转矩的表达式为

$$M_d = C_M I \phi. \quad (1)$$

式中, C_M 为电机结构常数; I 为电枢电流; ϕ 为气隙磁通^[1].

由于气隙磁通 ϕ 与电枢电流 I 互相垂直, 即 ϕ 与 I 互相垂直或直角坐标关系且为两个独立变量, 两者可以独立调节, 互不影响. 因而, 分别调节电枢电流 I 和气隙磁通 ϕ 以进行电机转矩 M_d (或转速 n) 的控制.

交流电机电磁转矩的表达式为

$$M_d = C_m I_2 \phi_m \cos \varphi_2. \quad (2)$$

式中, C_m 为电机结构常数; I_2 为转子电流; ϕ_m 为由定子电流和转子电流共同磁化结果而产生的气隙磁通; $\cos \varphi_2$ 为转子功率因数角^[2].

显然, 交流电机的 ϕ_m 与 I_2 不是两个独立变量, 难以通过调节 ϕ_m 和 I_2 来进行电机转矩 M_d (或转速 n) 的控制. 长期以来, 这个问题一直困扰着电机控制工作者, 为了改善交流电机的调速性能, 早在二十年代, 就有人提出了电机的双轴理论^[1], 企图通过对电机结构的改变, 来对电机进行改进, 但是直到 80 年代, 人们才通过矢量分解合成技术, 使这个问题得以解决. 随着交流电机矢量控制及变频调速技术的成熟和发展, 目前国内外大有交流传动代替直流传动的趋势.

2 系统工作原理分析

2.1 同步电机矢量控制原理

同步电机矢量控制原理图如图 1 所示. 从图 1 可以看出: 1) 定子电流空间矢量 i_s 分解成两个分量: 一个是与磁通 φ_1 轴同向的磁化电流 $i_{\varphi_1}^s$; 另一个是与 φ_1 轴相垂直的力矩电流 $i_{\varphi_2}^s$. 2) 转子励磁绕组电流 i_t 也分解成两个分量: 一个用来补偿 $i_{\varphi_2}^s$ 的电枢反应的磁化电流 $i_{\varphi_2}^t$, 其大小与 $i_{\varphi_2}^s$ 相等且方向相反; 另一个用来产生气隙电磁通 ϕ_m 的磁化电流 $i_{\varphi_1}^t$.

合成磁化电流 $i_M = i_{\varphi_1}^s + i_{\varphi_1}^t$ 产生合成磁通 ϕ_m , 由电机

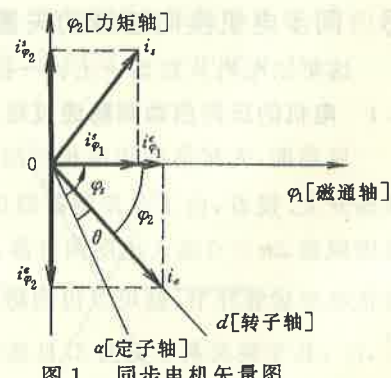


图 1 同步电机矢量图

力矩公式 $M_d = C_m i_{\varphi_2}^s \phi_m$ (C_m 为常数) 可知^[3]: 在控制中保持 ϕ_m 为常数, 则 $M_d \propto i_{\varphi_2}^s$. 因此, 只要改变 $i_{\varphi_2}^s$ 就可以很方便地调节电机的转矩(或转速). 交流同步电机矢量控制就是基于这一分解合成原理实现矢量控制的.

2.2 系统原理分析

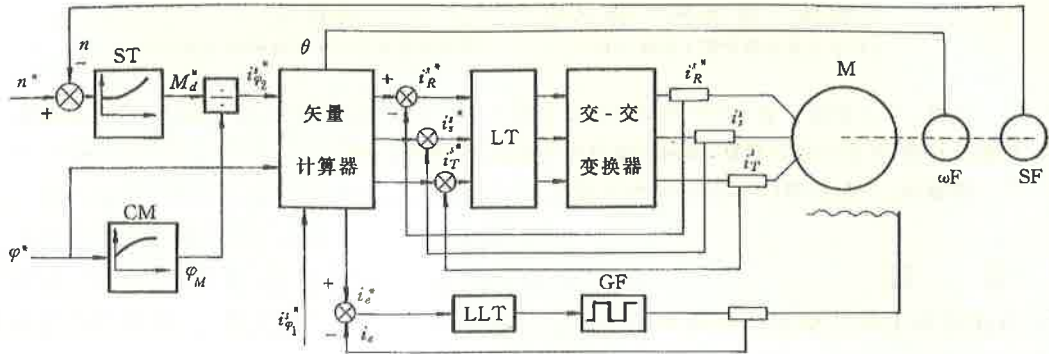


图 2 同步电动机矢量控制系统框图

同步电动机矢量控制系统工作原理, 可由系统工作原理框图加以说明. 同步电机矢量控制系统框图见图 2. 从图 2 可以看出: 系统的速度给定 n^* 与速度反馈 n 相比较的偏差值 Δn , 经速度调节器 ST 输出力矩给定信号 M_d^* , 除以磁通 φ^* , 得到定子电流力矩分量给定值 $i_{\varphi_2}^{s*}$, 但这里磁通是用模型量 φ_M 代替给定值 φ^* , 所谓模型量 φ_M 就是将给定值 φ^* 经过一个滞后环节再输出, 模拟实际磁通变化的滞后. (图 2 中, ST 为速度调节器; LT 为电流调节器; CM 为磁通模型; LLT 为励磁电流调节器; ω_F 为编码器; GF 为触发器; SF 为测速机.) 将 $i_{\varphi_2}^{s*}, i_{\varphi_1}^{s*}$ (来自磁化电流运算环节), φ^* 和 θ (转子位置角 $\theta = \int \omega dt$, 可以通过转子轴上的编码器得到) 输入矢量计算器, 矢量计算器算出三相电流给定值 $i_R^{s*}, i_S^{s*}, i_T^{s*}$ 及励磁电流的给定值 $i_e^*, i_R^{s*}, i_S^{s*}, i_T^{s*}$ 被送至交-交周期变换器的电流调节器 LT, 通过电流闭环调节, 实际的三相电流 i_R^s, i_S^s, i_T^s 跟随给定电流 $i_R^{s*}, i_S^{s*}, i_T^{s*}, i_e^*$ 送至励磁电流调节器 LLT, 使同步机转子励磁电流 i_e 跟随 i_e^* , 因而交流电机能按速度给定进行自动调节.

3 同步电机换向控制的矢量投影分析

这里以电机从启动→正转→稳速→停止→反转的过程进行分析.

3.1 电机的正向启动到稳速过程

启动前, 先接通同步电机的励磁绕组, 完成转子定位(即给出初始 φ_s 值) 及合上主回路的快速开关. 接着, 由主令控制器给出正的速度给定值 $+n^*$, 它与实际速度(此时为 0)相比较, 速度偏差 $\Delta n > 0$ 送入速度调节器, 经速度调节器算出输出正的 $i_{\varphi_2}^{s*}$, 见图 3. $i_{\varphi_2}^{s*}$ 经电流运算中的磁化电流运算环节, 就可以得到磁化电流 $i_{\varphi_1}^{s*}, i_{\varphi_2}^{s*}, i_{\varphi_3}^{s*}$ 通过矢量计算器中的矢量旋转器 VD 得到 i_a^{s*}, i_b^{s*} , 其变换关系亦见图 3. 且选定如图 3 所示的 α, β 的正方向, 由矢量分解可知: $i_a^{s*} > 0, i_b^{s*} > 0, i_a^{s*}, i_b^{s*}$ 再通过 2/3 坐标变换, 即在 R, S, T 三轴方向分解得到一种相序的变换关系 $i_{A_1}^{s*}, i_{A_2}^{s*}, i_{A_3}^{s*}$ (假定 A_1, A_2, A_3 这种相序为正相序), 其变换关系见图 4, 且选取如图 4 所示的 R, S, T 方向, 则有如式(3)的变换关系式.

$$\begin{cases} i_{A_1}^* = i_a^*, \\ i_{A_2}^* = i_\beta^* \cos 30 - i_a^* \cos 60, \\ i_{A_3}^* = i_a^* \cos 60 - i_\beta^* \cos 30. \end{cases} \quad (3)$$

通过 2/3 坐标变换的三相电流 $i_{A_1}^*$, $i_{A_2}^*$, $i_{A_3}^*$ 作为同步机定子电流的给定值。同样分析 $i_{\varphi_1}^*$ 和 $i_{\varphi_2}^*$, 通过电压前馈环节得到 $U_{\varphi_1}^*$ 和 $U_{\varphi_2}^*$, 经矢量旋转器 VD, 输出 U_a^* , U_β^* , U_a^* , U_β^* 再经过 2/3 坐标变换输出三相电压 U_{A_1} , U_{A_2} , U_{A_3} 作为电机三相给定电压, 其相序也和电流相序一样, 是按 A_1 , A_2 , A_3 正相序排列的, 该电压(或电流)相序就决定了电机正向启动。

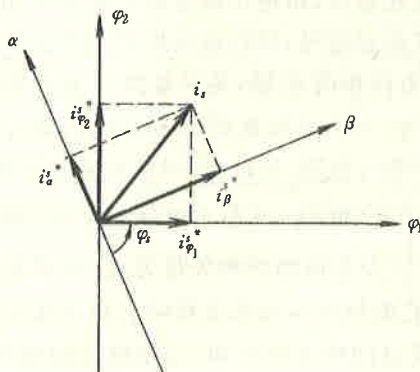


图 3 矢量旋转变换图

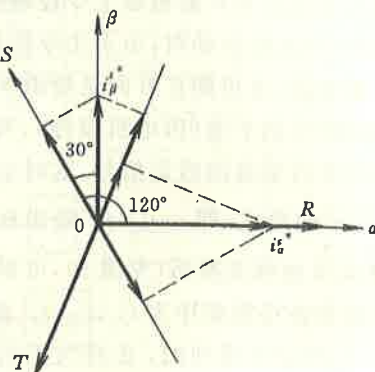


图 4 2/3 坐标旋转变换图

随着同步电机速度升高, 速度偏差 Δn 减小, 由于合理选择速度调节器的参数, 保证在启动过程中 $i_{\varphi_2}^* = \text{常数}$ (恒转矩调速), 使得同步电机加速运动, 当速度达到给定速度 n^* 时, 速度偏差 $\Delta n = 0$, 对应的力矩电流为 $i_{\varphi_2}^*$ (空载力矩电流), 同步电机稳速运转(恒功率运行)。

3.2 同步机制动过程(从稳速到停车)

停车时, 由主令控制器输出速度指令 $n^* = 0$, 速度偏差由零变成 $-\Delta n$, 速度调节器输出从 $i_{\varphi_2}^*$ 变成 $-i_{\varphi_2}^*$, $i_{\varphi_1}^*$ 的方向不变。同样, 由 $-i_{\varphi_2}^*$, $i_{\varphi_1}^*$ 通过矢量变换可得 $-i_a^*$, $-i_\beta^*$, 其变换关系见图 5。将 $-i_a^*$, $-i_\beta^*$ 代入关系式(3)可知: $i_{A_1}^*$, $i_{A_2}^*$, $i_{A_3}^*$ 均变成负值, 即 $-i_{A_1}^*$, $-i_{A_2}^*$, $-i_{A_3}^*$ 经 2/3 坐标变换后变成 $-i_{A_1}^*$, $-i_{A_2}^*$, $-i_{A_3}^*$ 。其三相电流相量图见图 6。由图 6 可知, 此时的电流相序仍按 A_1 , A_2 , A_3 相序排列。同样分析可知, 电压的相序亦不变。所以, 这时定子电流相序不变, 方向相反, 产生制动力矩, 交-交变换器处于逆变状态, 向电网输送能量, 直到 $\Delta n = 0$ 停车为止。

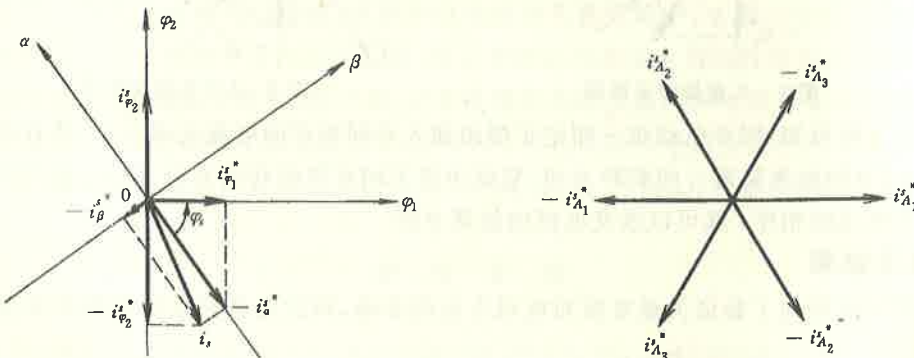


图 5 矢量旋转变换图

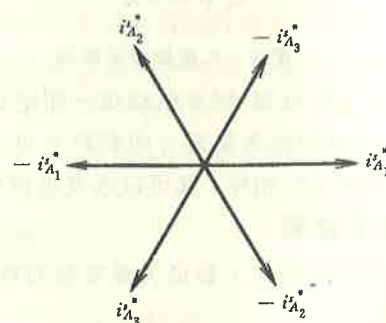


图 6 三相电流相量图

3.3 同步电机反转过程

此时, 主令控制器输出速度指令 $-n^*$, 速度偏差从 0 变成 $-\Delta n$, 速度调节器输出 $-i_{\varphi_2}^{s*}$ ($i_{\varphi_1}^{s*}$ 方向仍不变). 这时有一个重要的角度方向发生变化, 即同步电动机定子轴到气隙磁通轴之间的夹角 φ_s 发生变化, 因而结论和正向制动时不一致. 在电机正转或反转过程中, 由于 φ_s 在矢量运算器中一直参与运算, 它是由电压模型(高速时)或电流模型(低速时)提供. 在整个系统工作之前, φ_s 的大小由初始定位确定; 在换向时 φ_s 的大小由式 $\varphi_s = \theta + \varphi_2$ 决定(θ 为定子轴 α 到转子轴 d 的夹角, 来自编码器, φ_2 为转子轴 d 到磁通轴 φ_1 的夹角, 来自电流模型, 在稳态时为一常数). 但无论是在初始定位还是在换向时, φ_s 的方向(实际上是 φ_s 在第一象限还是在第四象限), 可以认为只能根据主令控制器的给定是正还是负, 由电压模型提供 φ_s 的正负.

因此, 在正向启动时, 由于主令控制器是发的正给定信号, 所以电压模型提供的 $\varphi_s > 0$, 即位于第四象限, 这里的正方向是指由 α 轴按反时针方向指向 φ_2 轴, 见矢量图 3. 在正向制动时, 由于电机转向仍不变(因电机没停), 所以计算值的 $\varphi_s > 0$, 见矢量图 5. 在反向启动时, 由于主令控制器发的是负的给定信号, 这时 $\varphi_s < 0$, 即位于第一象限. 所以, 这时的矢量变换关系变成了图 7 所示的形式, 即 $-i_{\varphi_2}^{s*}, i_{\varphi_1}^{s*}$ 经坐标变换后变成了 i_{α}^{s*} 和 $-i_{\beta}^{s*}$ (与正向制动时不一样), i_{α}^{s*} 和 $-i_{\beta}^{s*}$ 经 $2/3$ 坐标变换后(见图 8), 可得到在 R, S, T 三个方向的分解矢量为式(4)所示. 即通过 $2/3$ 坐标变换得到相序为 $i_{A_1}', i_{A_2}', i_{A_3}'$ 的三相电流, 它的相序与原来正转时的相序比较, 是按照 A_1, A_3, A_2 的相序排列的, 正好与正向相序相反. 经过同样分析可知, 三相电压的相序亦正好与正向相序相反. 所以电机反向起动, 加速直到稳定运转.

$$\begin{cases} i_{A_1}' = i_{\alpha}^{s*} = i_{A_1}^{s*}, \\ i_{A_2}' = -i_{\alpha}^{s*} \cos 60 - i_{\beta}^{s*} \cos 30 = i_{A_3}', \\ i_{A_3}' = i_{\beta}^{s*} \cos 30 - i_{\alpha}^{s*} \cos 60 = i_{A_2}', \end{cases} \quad (4)$$

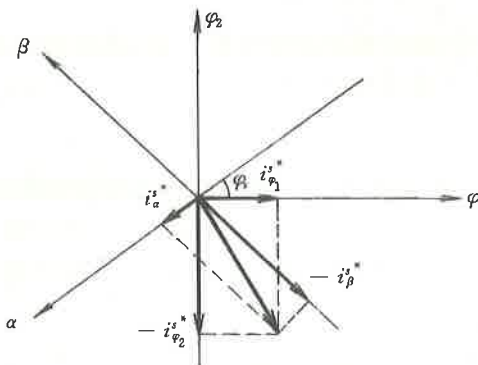


图 7 矢量旋转变换图

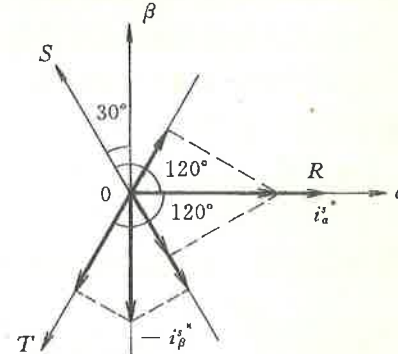


图 8 2/3 坐标变换图

从以上分析可知: 同步电动机三相定子绕组通入不同相序的电流或电压时, 就有不同的空间磁势 F_s 或空间电流矢量 i_s 的旋转方向, 它就决定了同步机的转动方向. 因此, 我们只要改变三相电流或电压的相序, 就可以改变电机的旋转方向.

4 仿真及结果

仿真的目的是为了验证矢量变换对电机方向的影响, 因此电机模型的励磁部分采用如下简单算法:

- 1) 同步电机励磁方程式:

$$U_e = p\Phi_d + i_e r_e. \quad (5)$$

式中, Φ_d 为直轴磁通, i_e 为励磁电流; r_e 为磁场电阻.

2) 同步电机力矩方程式:

$$M_d - M_e = \phi_d I_q + \phi_q I_d - M_e = \frac{GD^2}{375} \frac{dn}{dt}. \quad (6)$$

式中, M_d 为同步电动机的电磁转矩; M_e 为负载力矩; n 为电机转速; Φ_d 为直轴磁通; Φ_q 为交轴磁通; I_q 为直轴电流; I_d 为交轴电流.

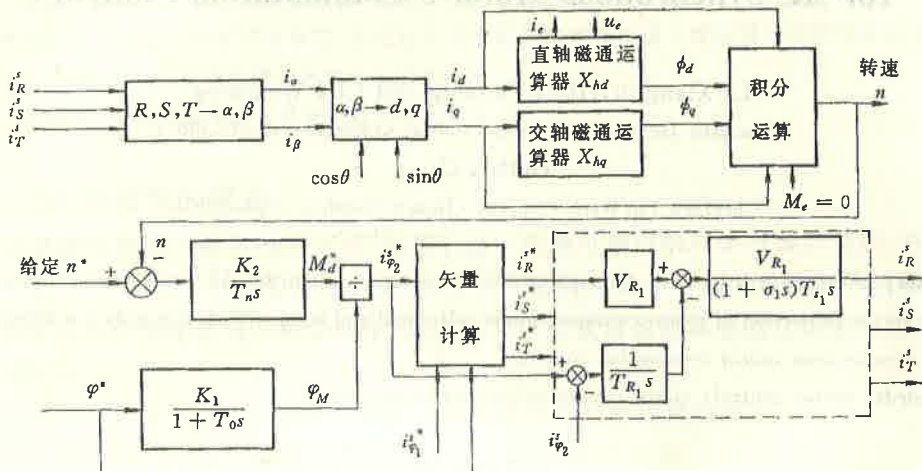


图 9 系统仿真原理图

因此,整个系统仿真模型如图 9 所示,图中带“*”的为给定值或理论值,不带“*”号的为计算值或实际值,已知参数如下:

$$n^* = 100, \varphi^* = 10, k_1 = 2, k_2 = 5,$$

$$T_0 = 3, T_N = 6, V_{R_1} = 0.95,$$

$$V_{S_i} = 0.375, \sigma_i = 3, T_{S_i} = 2.2,$$

$$T_{R_i} = 14, X_{nq} = 1.237, X_{nd} = 0.048.$$

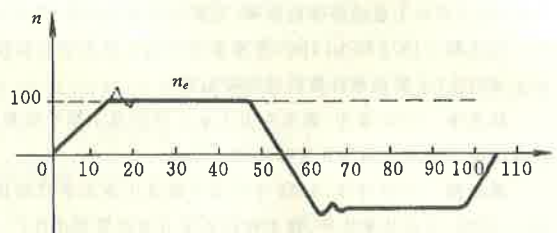


图 10 同步电动运行过程速度仿真曲线

仿真结果见图 10.

5 结束语

从以上的仿真及分析可以看出,在同步电动机的矢量控制中, φ_s 是一个很重要的量,不但它的大小在整个矢量控制中参与矢量运算,而且它的方向决定电机的转动方向,为电机换向矢量控制提供基础. 值得指出的是:对于交-交变换器供电的交流同步电机矢量控制系统国内已有很好的应用,本文是在消化吸收西门子公司 700 初扎机同步电机矢量控制系统资料的基础上,整理而成,主要就电机换向的矢量投影进行计算、总结、仿真,为矢量控制的分析提供参考.

参 考 文 献

- [美]B. 阿德金斯, R. G. 哈利. 交流电流统一理论在实际问题上的应用. 北京: 机械工业出版社, 1980
- 符曦. 感应电动机的矢量控制及应用. 北京: 机械工业出版社, 1986
- 沈德耀. 交流传动矢量控制系统. 长沙: 中南工业大学出版社, 1987

- 4 西门子公司. 矢量控制直接变频器供电的同步电机理论基础. 1987
- 5 西门子公司. 初轧机交流变频装置控制系统测试原理说明. 1987
- 6 西门子公司. 初轧机交流传动装置传动单元操作说明. 1987
- 7 中野孝良等. 交流变速传动的矢量变换控制. 电气传动自动化译丛, 1983
- 8 WOLFGANG. TIMDE. 轧机用交-交变频器传动系统. 电气传动自动化译丛, 1984

The Application of Vector-Projection-Transform for AC Synchronous Motor's Commutation Control

LI Xianglin, HUO Zhiming and LIN Weizheng

(Changsha Technology Economics College • Changsha, 410012, PRC)

HONG Qiran

(Chenzhou Tap Water Company • Hunan Chenzhou, 42300, PRC)

Abstract: In this paper, the basic principle of the transvector control for AC synchronous motor is introduced. The vector projection of motor commutation is calculated and summarized. It is only a reference for the analysis of synchronous motor transvector control.

Key words: vector control; motor commutation; vector projection

本文作者简介

李湘林 1964 年生. 1986 年毕业于湘潭大学机电工程系自动化专业, 1996 年在中南工业大学自动控制工程系获硕士学位. 现为长沙工业经济学院讲师. 主要从事交流调速, 计算机过程控制等方面的教学及研究工作.

何志明 1971 年生. 1990 年毕业于中南工业大学自动控制工程系, 获工学学士学位. 现为中南工业大学信息工程学院硕士研究生. 主要从事计算机过程控制研究.

林卫中 1937 年生. 现为中南工业大学信息工程学院教授, 应用电子研究所所长. 主要从事电机调速, 计算机过程控制及高等电子技术应用与开发的研究工作.

洪奇然 1961 年生. 1982 年毕业于武汉工业大学自动化专业, 获工学学士学位. 现任湖南省郴州市自来水公司经理助理, 工程师. 主要从事生产、技术和设备等方面的管理工作.